

FIG. 2A

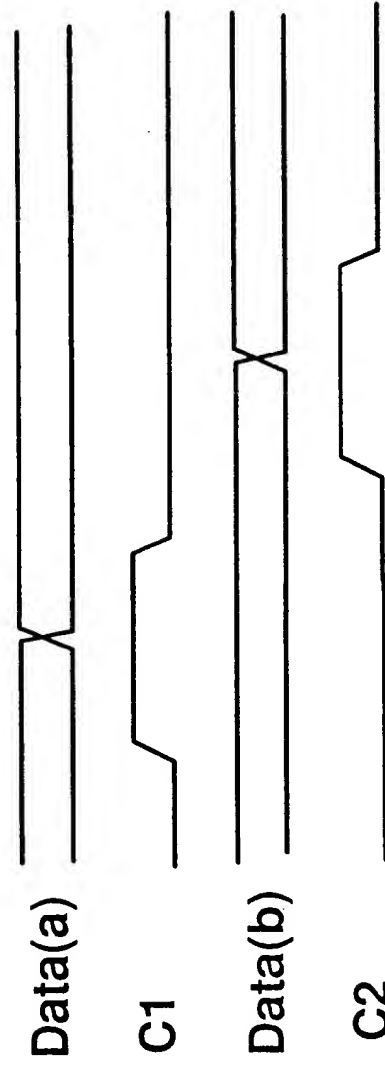
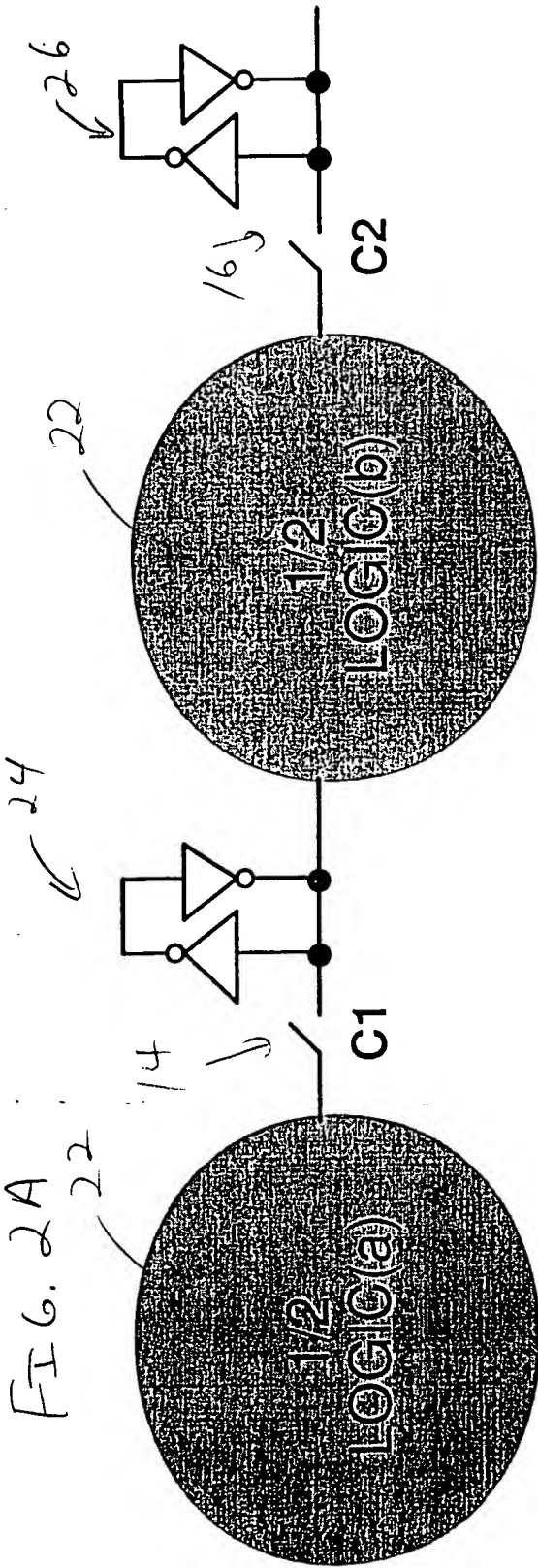


FIG. 2B

FIG. 3A

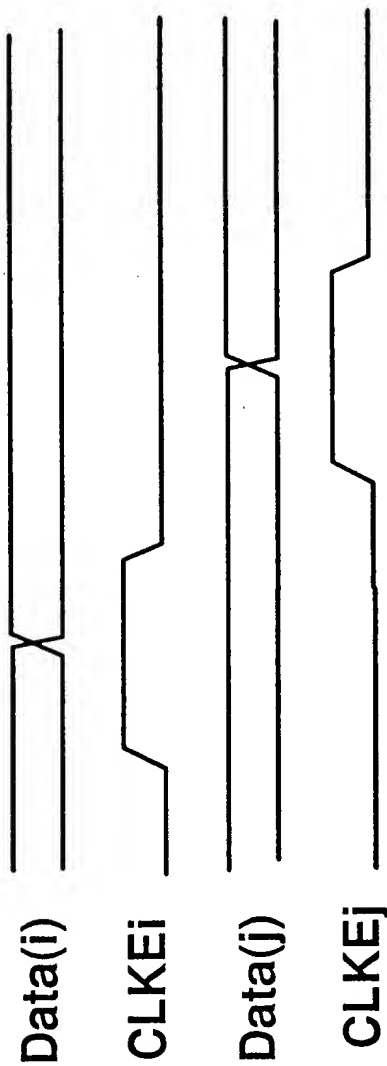
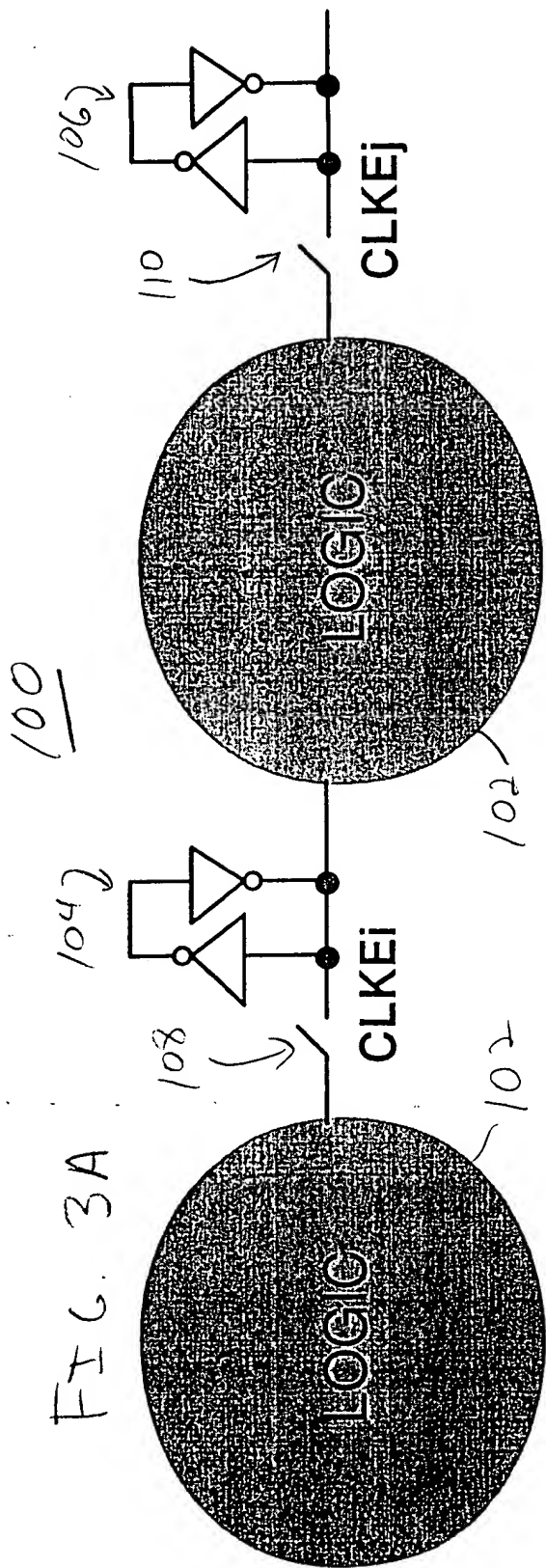


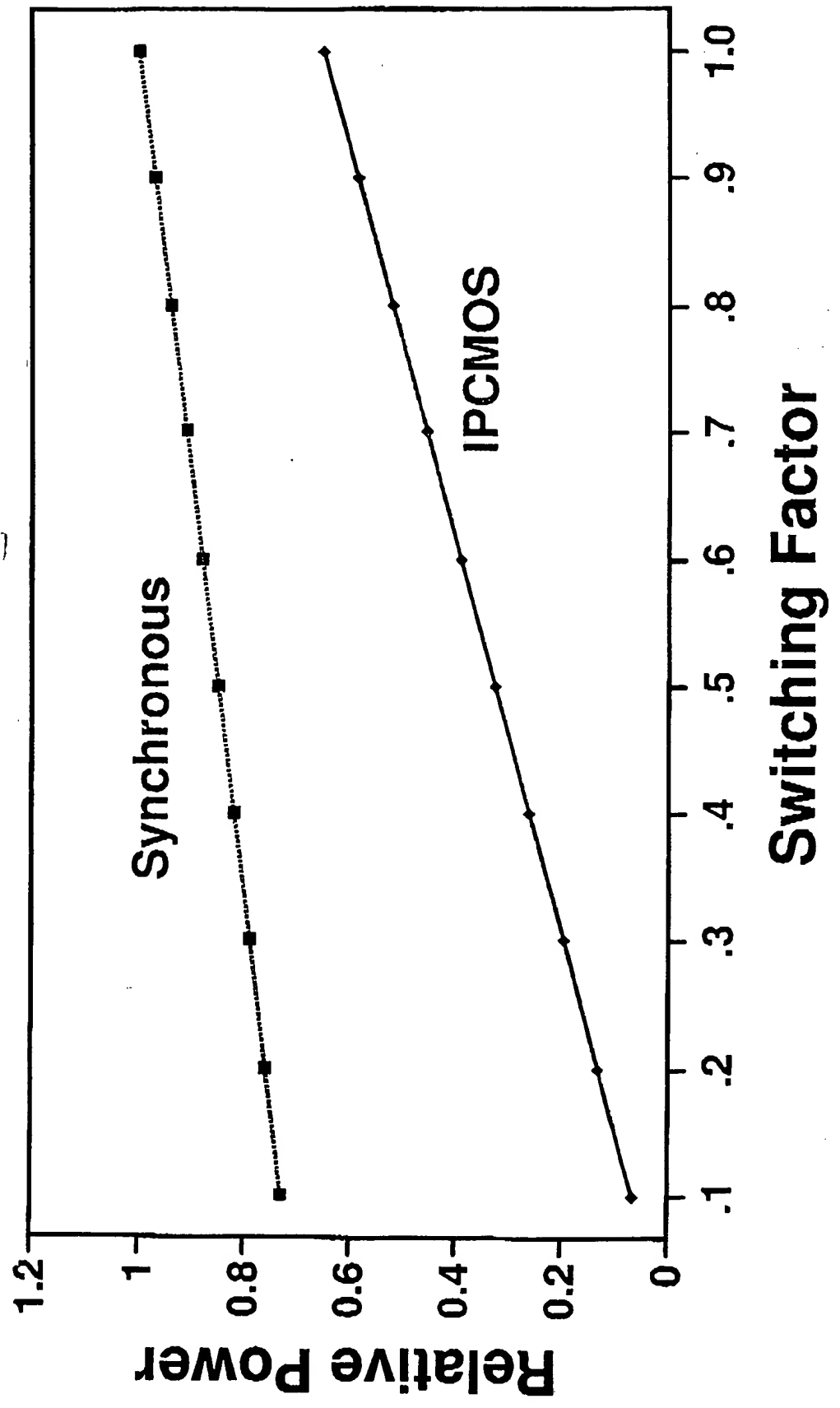
FIG. 3B

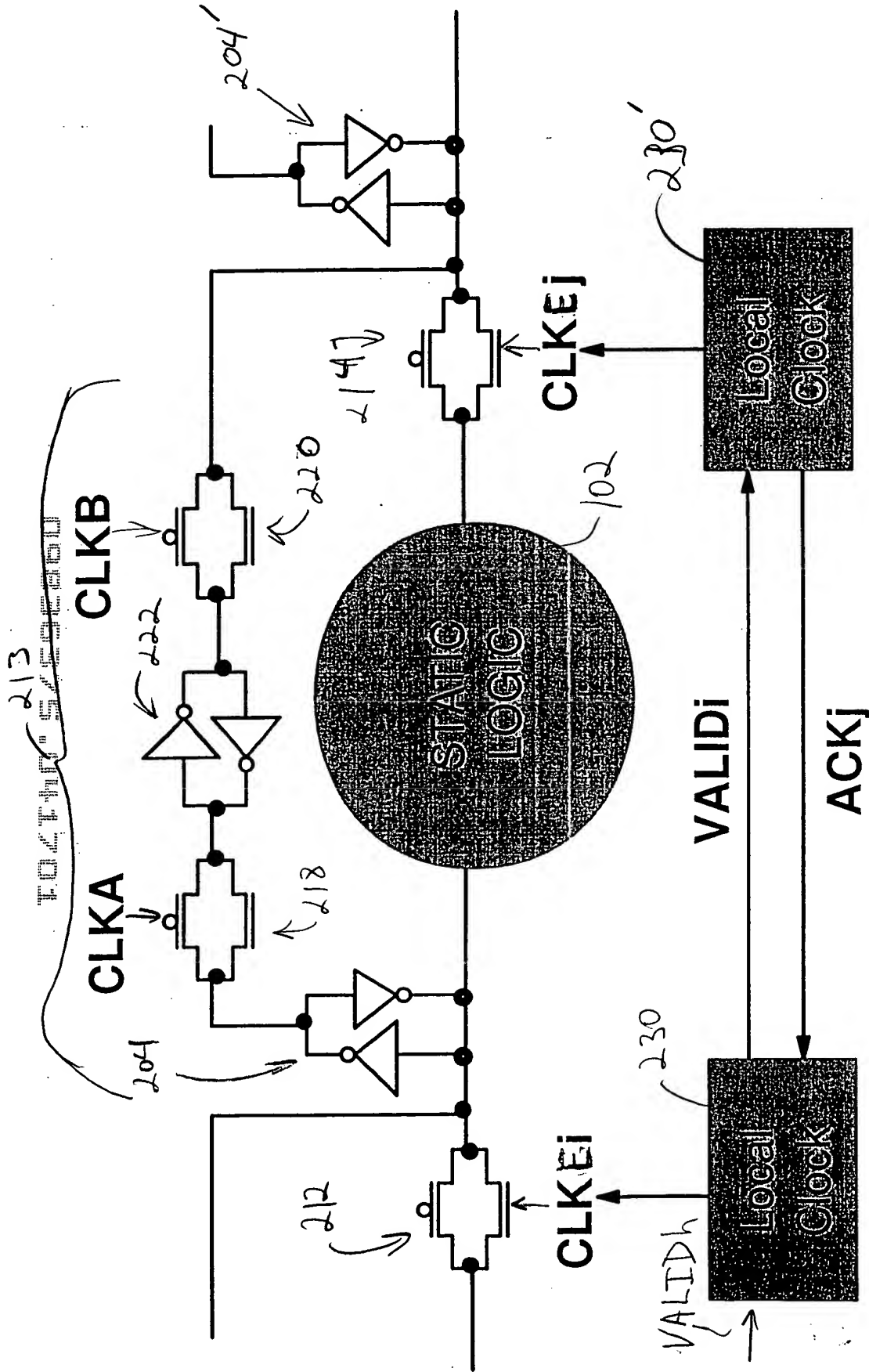
FOUO 5292860

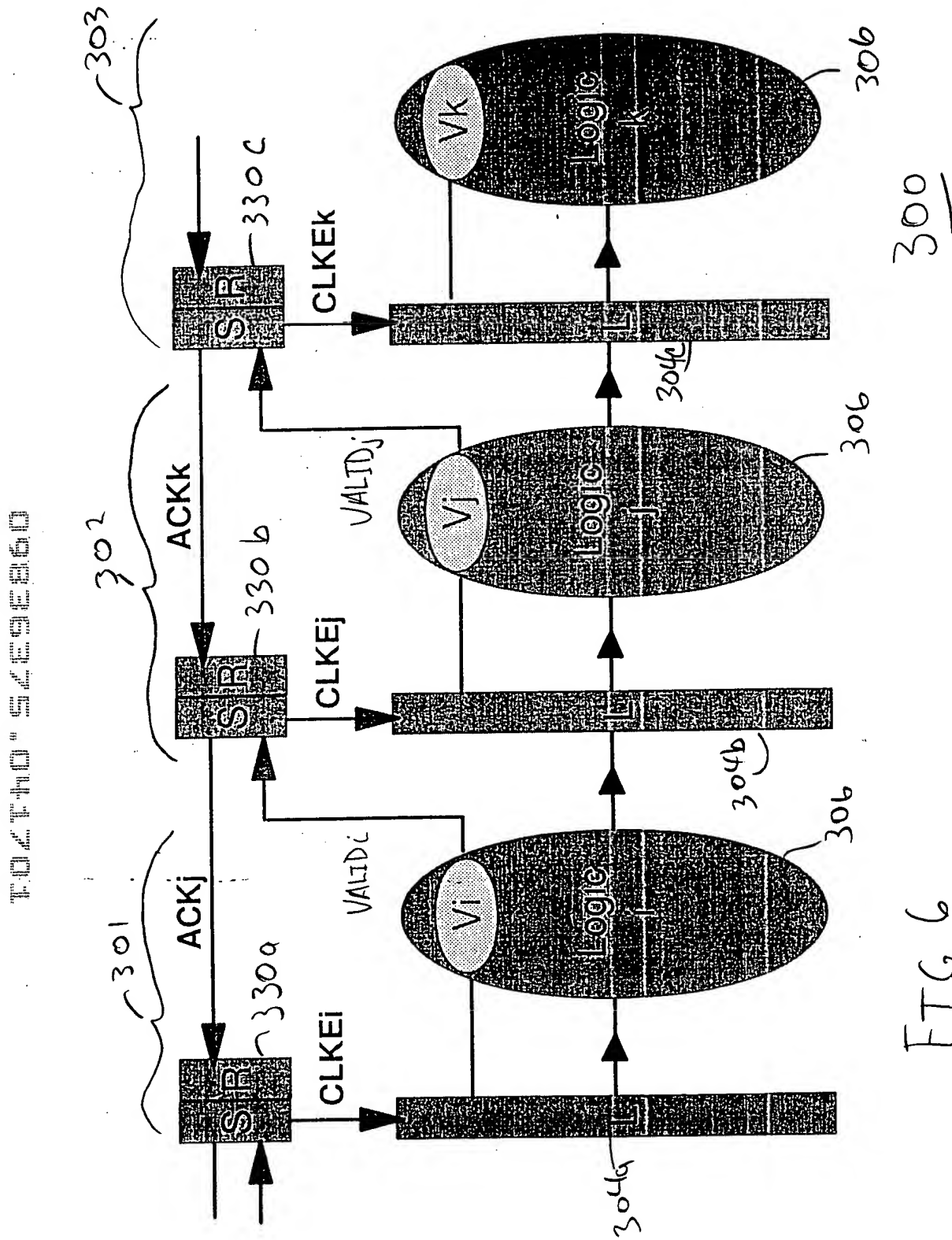
4/12
VDR9-2000-D402US1 (8728-497)

FIG. 4

Power Versus Switching Factor







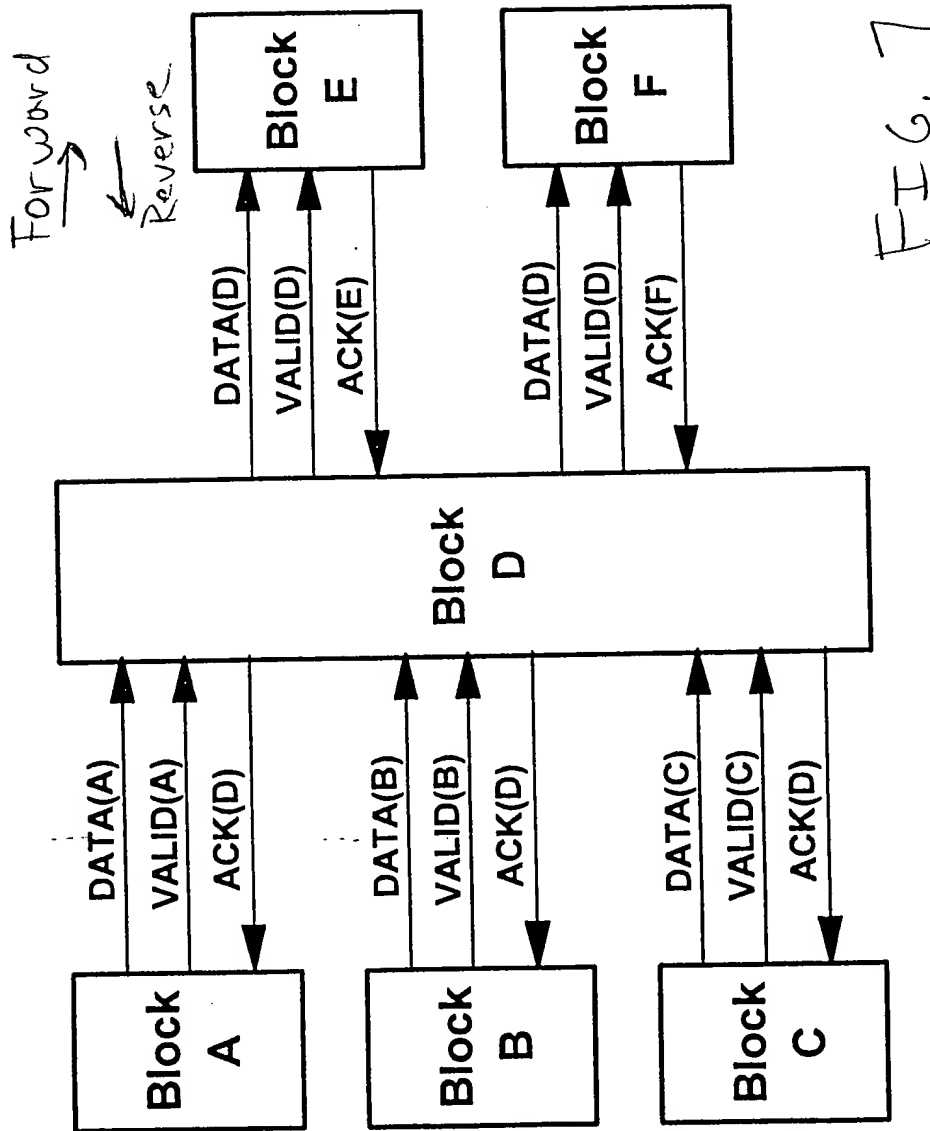
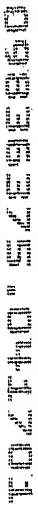


FIG. 7

8
C
H
H



9/12
 4DR9-2000 0402US9 (8728-497)

0982675 041701

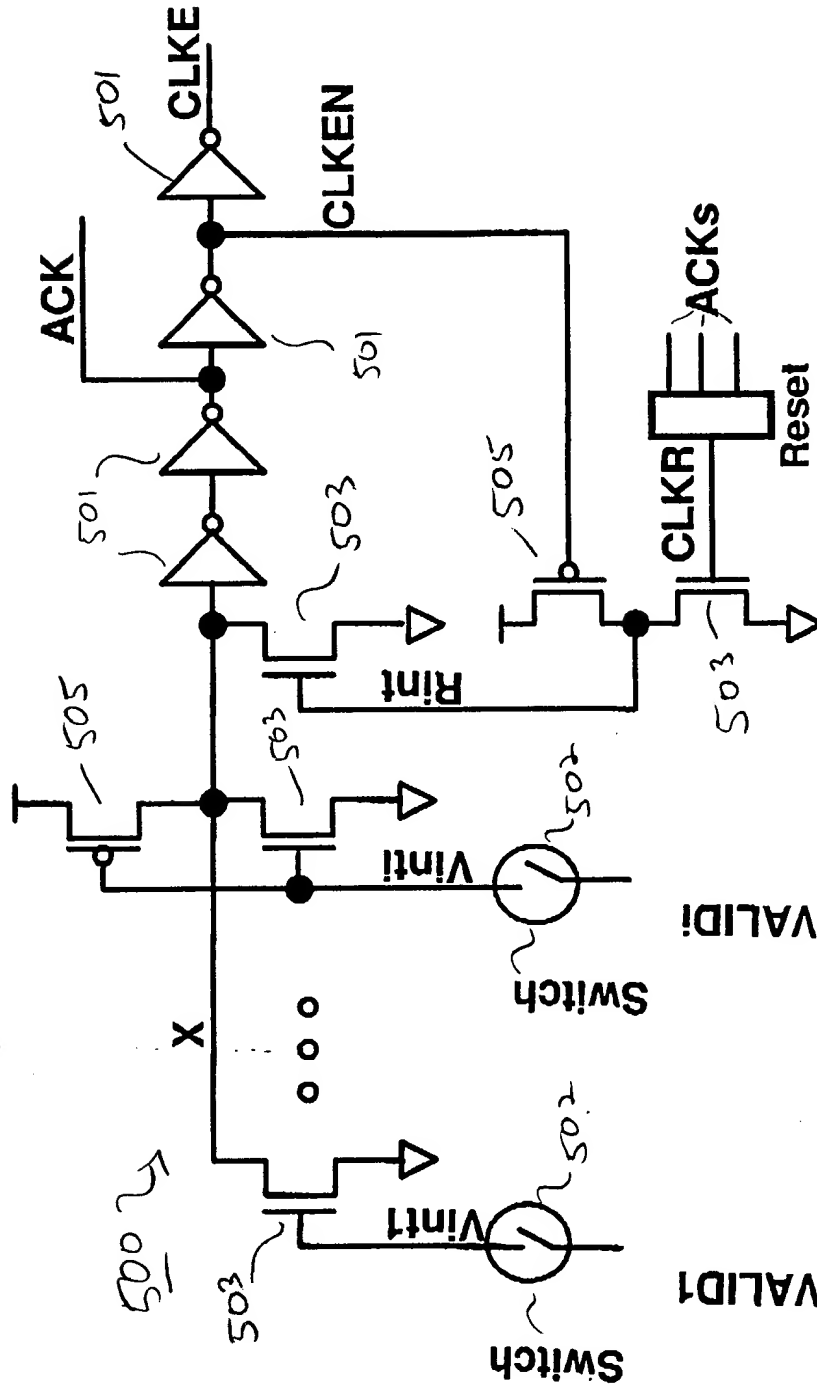


FIG. 9A

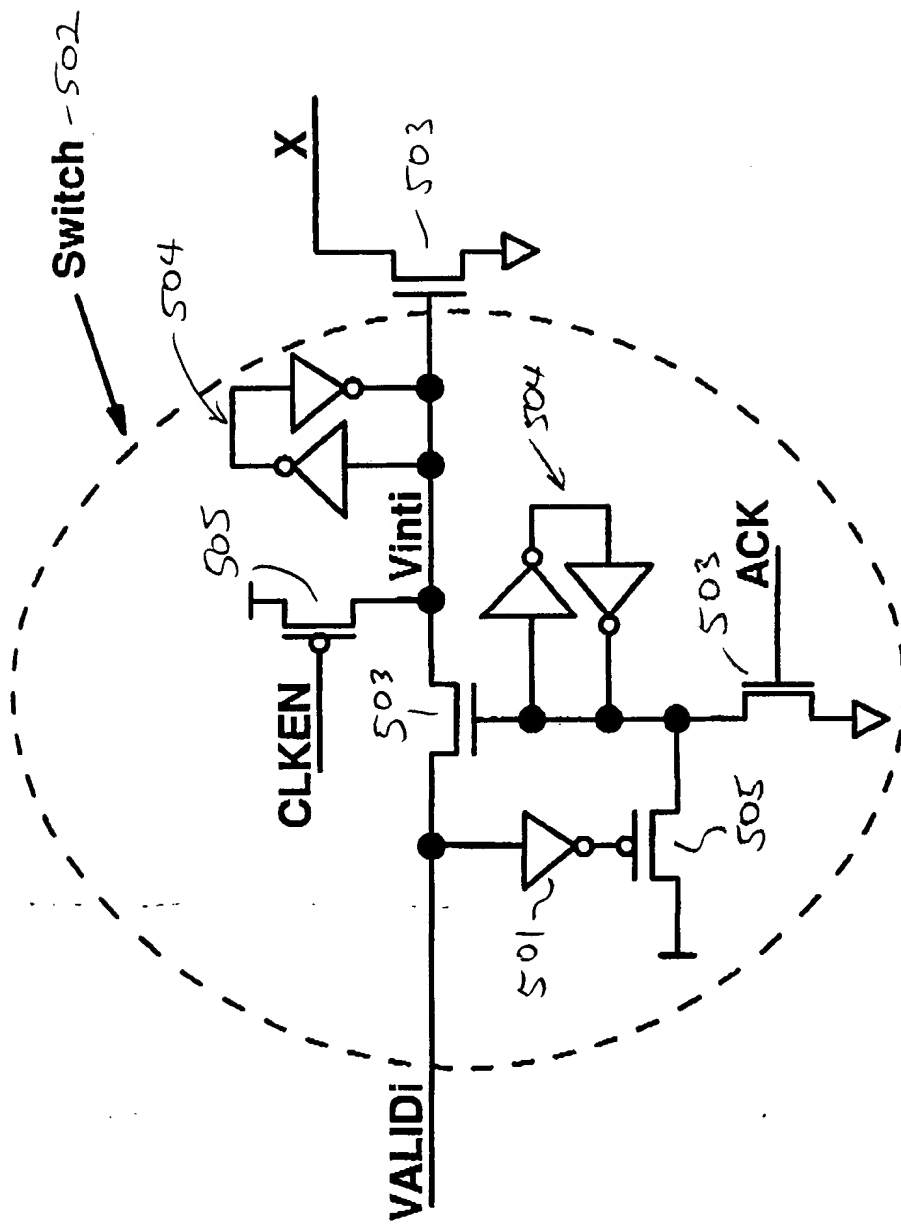


FIG. 9B

FOI b7D b7E b7F

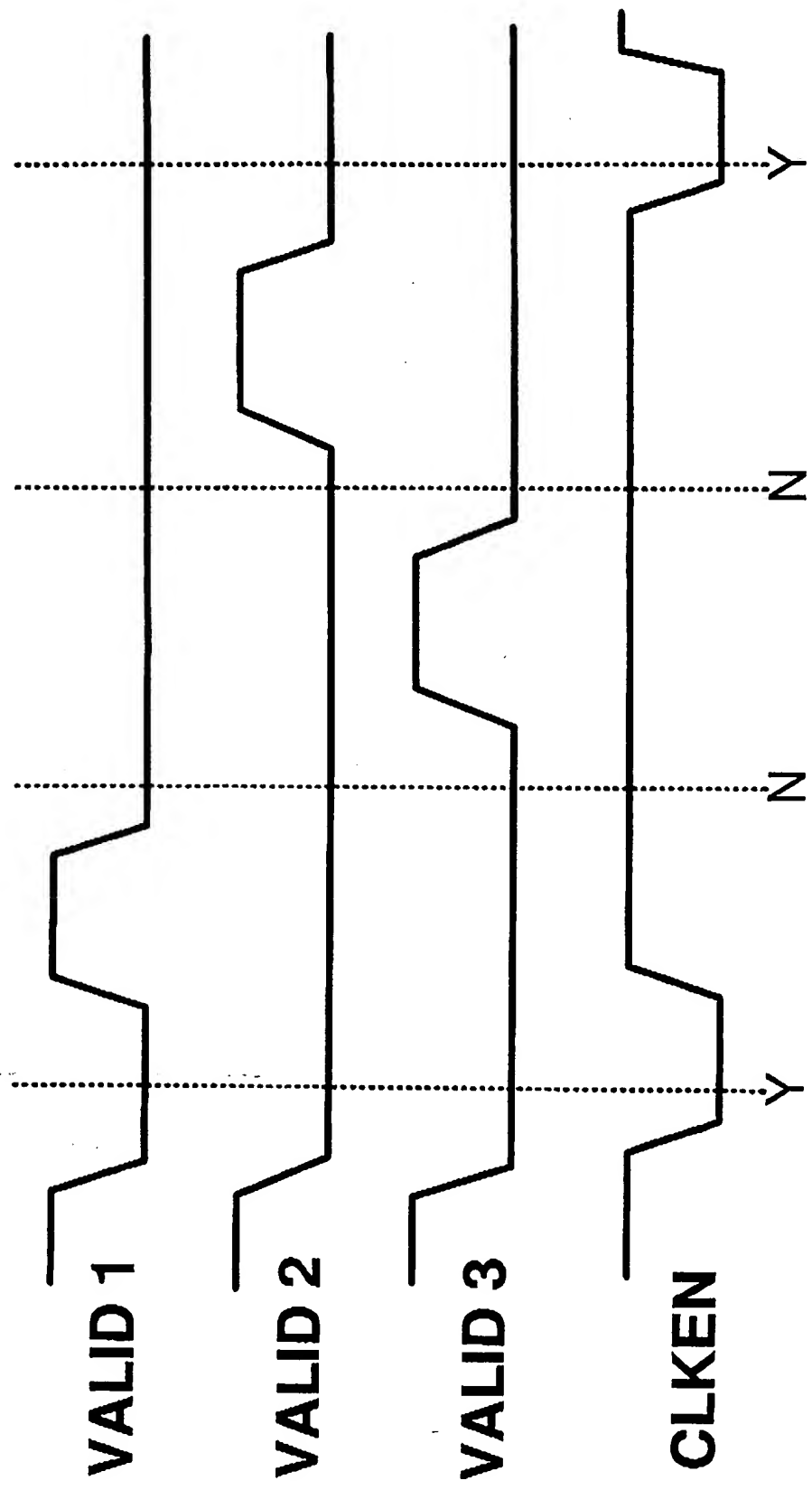


FIG. 10

FOOTNOTES

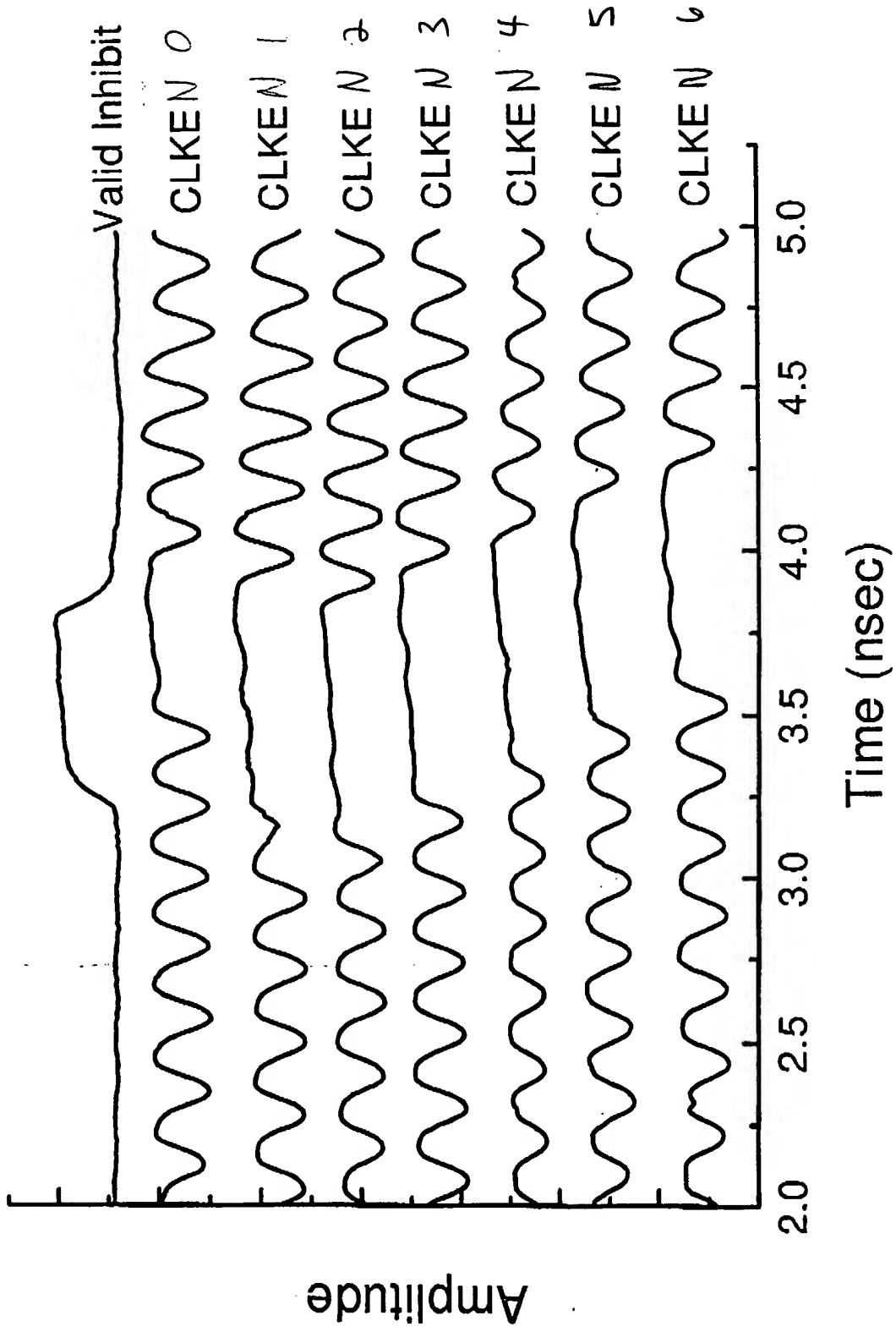


FIG. 11

12/12
YDRL-2000-D402US1 (8728-497)